

・ 東北大学 正員 倉西 英  
東北大学 正員 矢吹 哲也。

本論文は鋼アーチの耐荷力を、有限変形および材料の降伏を考えて求めたものである。有限変形の影響は逐次近似法により、塑性変形の影響は曲げ剛性および有効断面の減少を換算し、同じく逐次近似法により計算している。アーチの変形はすべて普通の弾性計算に用いられていろ式が利用できるので、本方法によれば、弾性計算と強い関連性ももって、有限変形および塑性変形の影響を論ずる事ができる。また多くの柱・柱トノットで構成される構造物の各部材に本方法を適用し全体としての耐荷力をマトリックス法と組みつけて求める事ができる。

### 1-一次計算

右図に示すようにアーチに働く荷重および変形はよく知られているが、次式で表される。

$$\bar{M}_o = \sum_{k=1}^l (1 - \bar{x}_k) P_k \bar{x} - \sum_{k=1}^l S_{\text{step}}^{x_k} (\bar{x} - \bar{x}_k) \quad (1)$$

$$H = - \frac{\int_0^l \frac{\bar{M}_o \bar{x}}{\mu k A \sin \gamma} d\bar{x}}{\beta} \quad (2)$$

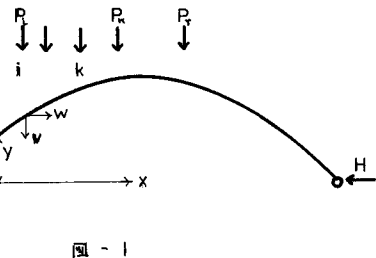


図-1

ここで  $\bar{x}$  はスパン  $\ell$  で割った値を示し、 $\beta = \int_0^l \{ (\bar{x})^2 / (\mu k A \sin \gamma) + 1 / (2 \lambda^2 A \sin^3 \gamma) \} d\bar{x}$  である。

$$\text{また } \bar{M}_{ok} = \bar{M}_o - H \bar{x}, \quad \bar{M}_{ok} = (1 - \bar{x}_k) \bar{x} - S_{\text{step}}^{x_k} (\bar{x} - \bar{x}_k),$$

$$\bar{M}_{owk} = - \{ \bar{x}_k \bar{x} + S_{\text{step}}^{x_k} (\bar{x} - \bar{x}_k) \} \quad \text{とすれば}$$

$$H_k = \left\{ \int_0^l \frac{\bar{M}_{ok} \bar{x}}{\mu k A \sin \gamma} d\bar{x} \right\} / \beta, \quad H_{wk} = \left\{ \int_0^l \frac{\bar{M}_{owk} \bar{x}}{\mu k A \sin \gamma} d\bar{x} - \int_0^l \frac{S_{\text{step}}^{x_k} \bar{x}}{2 \lambda^2 A \sin^3 \gamma} d\bar{x} \right\} / \beta$$

より変位は

--- (3)

$$\bar{w}_k = \left( \frac{l^2}{EI_c} \right) \left\{ \frac{\bar{M}(\bar{M}_{ok} - H_k \bar{x})}{\mu k^2 A \sin^3 \gamma} + \frac{H \cdot H_k}{2 \lambda^2 A \sin^3 \gamma} \right\} d\bar{x} \quad (4)$$

$$\bar{w}_k = \left( \frac{l^2}{EI_c} \right) \left\{ \frac{\bar{M}(\bar{M}_{owk} - H_{wk} \bar{x})}{\mu k A \sin \gamma} + \frac{H(H_{wk} + S_{\text{step}}^{x_k})}{2 \lambda^2 A \sin^3 \gamma} \right\} d\bar{x} \quad (5)$$

ここで  $I_c$  はある規準の断面工次モーメント  $I_c$  との比  $I/I_c$  であり、 $\mu$ 、 $\lambda$  はそれぞれ塑性変形による曲げ剛性および有効断面積の低下率を表す。

### 2-2次計算

ある逐次近似的段階でアーチの応力および変形状態より求められた応力および変形の増分  $\Delta$  を附し、それそれ段階数をその肩に付けて記せば、段階  $n$  でのアーチ軌跡、変形量および応力は

$$\begin{aligned} \bar{x}^n &= \bar{x}^{n-1} + \Delta \bar{x}^{n-1}, & \bar{P}^n &= \bar{P}^{n-1} + \Delta \bar{P}^{n-1}, & \bar{w}^n &= \bar{w}^{n-1} + \Delta \bar{w}^{n-1} \\ \bar{u}^n &= \bar{u}^{n-1} + \Delta \bar{u}^{n-1}, & H^n &= H^{n-1} + \Delta H^n, & R_A^n &= R_A^{n-1} + \Delta R^n, \quad J^n = J^{n-1} + \Delta J^n \end{aligned} \quad (6)$$

で書き表わされる。それぞれの量は

$$\Delta R_A^n = - \sum_{k=1}^n P_k \cdot \Delta w_k^{n-1}$$

$$\Delta M_{ok} = H^{n-1} \Delta v_k^{n-1} + (\Delta R_A^n \bar{z}_k^n + R_k^{n-1} \Delta w_k^{n-1}) - \sum_{i=1}^k P_i (\Delta w_k^{n-1} - \Delta w_i^{n-1})$$

$$\Delta H^n = \frac{\int_0^l \frac{\bar{z}^n}{\mu k \sin p^n} \Delta M_{ok} dx}{\int_0^l \frac{(\bar{z}^n)^2}{\mu k \sin p^n} + \frac{1}{D \lambda^2 \sin^3 p^n} f dx}$$

$$\Delta \bar{M}_k^n = \Delta M_{ok} - \Delta H^n \bar{z}_k^n$$

$$\bar{M}_{ok}^n = (1 - \bar{z}_k^n) \bar{z}^n - Step_x^n (\bar{z}^n - \bar{z}_k^n)$$

$$\Delta w_k^n = - \{ \bar{z}_k^n \bar{z}^n + Step_x^n (\bar{z}^{n-1} - \bar{z}_k^{n-1}) \}$$

$$\bar{H}_k^n = \frac{\int_0^l \frac{\bar{M}_{ok} \bar{z}^n}{\mu k \sin p^n} dx}{\int_0^l \frac{(\bar{z}^n)^2}{\mu k \sin p^n} + \frac{1}{D \lambda^2 \sin^3 p^n} f dx}$$

$$\bar{M}_k^n = M_{ok} - H_k^n \bar{z}^n$$

$$H_{wk}^n = \frac{\int_0^l \frac{\bar{M}_{ok} \bar{z}^n}{\mu k \sin p^n} - Step_x^n}{\int_0^l \frac{(\bar{z}^n)^2}{\mu k \sin p^n} + \frac{1}{D \lambda^2 \sin^3 p^n} f dx}$$

$$\bar{M}_{wk}^n = \bar{M}_{ok} - H_{wk} \bar{z}^n$$

$$\Delta \bar{v}_k^n = \left( \frac{E^2}{EI_0} \right) \int_0^l \frac{1}{\mu k \sin p^n} - \Delta \bar{M}_k^n \bar{M}_k^n + \frac{\Delta H^n H_k^n}{D \lambda^2 \sin^3 p^n} f dx$$

$$\Delta \bar{w}_k^n = \left( \frac{E^2}{EI_0} \right) \int_0^l \frac{1}{\mu k \sin p^n} - \Delta \bar{M}_k^n \bar{M}_{wk}^n + \frac{\Delta H^n (H_{wk}^n + Step_x^n)}{D \lambda^2 \sin^3 p^n} f dx$$

で表わされる。これ等の増1分が充分に小さくなるまで逐次近似計算を繰り返す。

### 3-塑性変形による曲げ剛性および有効断面積の低下率の計算

本論文では、曲げと軸力に対する抵抗力に対して、両極端の性質を有するものと思われるU型断面のものと、サンドウェイチ断面のものについて計算を行なう。

#### 3-1 U形断面上に対する曲げ剛性および有効断面積の低下率の計算

図-2

図-2に示すように、3つの応力状態に分けて

それぞれの低下率を考へる。

図-1-Ⅰは、直角断面(図-3に示す

図-3

Ⅰ～Ⅲ)は、理想弾塑性体

のもつとする。すると状態

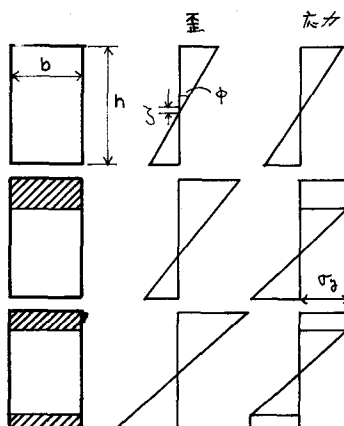
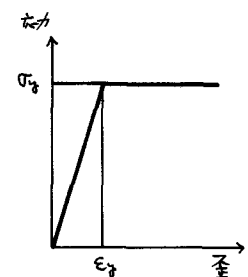
Ⅰでは全断面が強性域にあ

る事を表し、状態Ⅱは一

方側に塑性変形が生じた場

合を示し、状態Ⅲは両側に

塑性域が現われた事を示す。



それぞれの状態

$$M_y = \frac{bh^2\sigma_y}{6}, \quad N_y = bh\sigma_y$$

とて、状態I,  $0 \leq M/M_y \leq 1 - N/N_y$

$$\text{状態II}, \quad 1 - N/N_y < M/M_y \leq (1 + 2N/N_y)(1 - N/N_y)$$

$$\text{状態III}, \quad (1 + 2N/N_y)(1 - N/N_y) < M/M_y \leq 2\{1 - (N/N_y)^2\}/3$$

} (8)

応力状態を定められる。すると純曲げにより、最遠のマイバー応力が降伏するときの断面の回転変化率を中点、すなわち断面中央から中立軸までの距離とて、断面の回転変化率中点は次式で表えられる。

$$\text{状態I} \quad \phi/\phi_y = M/M_y, \quad \zeta = \frac{N}{2N_y} \frac{\phi_y}{\phi}$$

$$\text{状態II} \quad \phi/\phi_y = \frac{4(1 - N/N_y)^3}{\{3(1 - N/N_y) - M/M_y\}^2}, \quad \zeta = \frac{1}{2}(1 + \frac{\phi_y}{\phi}) - \sqrt{\frac{\phi_y}{\phi}} \sqrt{1 - N/N_y}$$

$$\text{状態III} \quad \phi/\phi_y = \frac{1}{\sqrt{3(1 - (N/N_y)^2) - 2M/M_y}}, \quad \zeta = \frac{1}{2} \frac{N}{N_y}$$

すると塑性変形による曲げ剛性の低下率  $\mu$  と有効断面積の低下率  $\nu$  はそれぞれ次式で表えられる。

$$\mu = \frac{M}{M_y} \frac{\phi_y}{\phi}, \quad \nu = \frac{1}{2\zeta} \frac{N}{N_y} \frac{\phi_y}{\phi} \quad (10)$$

### 3-2 サンドウイッチ断面に対する曲げ剛性および有効断面積の低下率の計算

サンドウイッチ断面に対する曲げ剛性を考慮する場合に、せん断变形の影響も考慮する。すなわち図-4に示すように荷重分布を仮定し、キセキ硬化部分 ( $E_y + E_n$ ) の下に実際の場合より、小さく仮定した事となるが、過度な下垂を避ける事によりウェーブの影響もある程度入れる事も可能になる。本論文の目的はあるアーチの耐荷力を求めると、(図-4)。アーチの設計に対する複雑を求める事にあつては、上記の仮定に充分と思われる。U形の断面の場合と同様に、左の状態にFつて6つの状態が考えられ、さらに、兩つアーチの右側が等筋等不等筋等号によって3つに分かれられる。前者には2、後者には1を附して表す事にする。

各状態は次のとくに分類される。

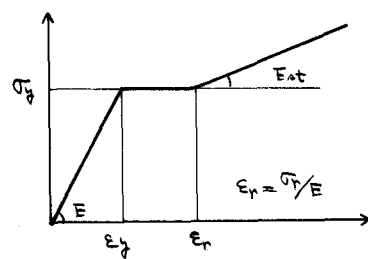
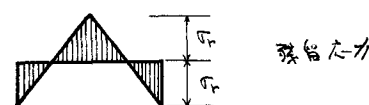
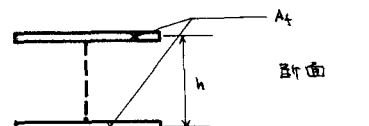


図-4

- 状態 I : 兩フランク力は弹性域にある
- 状態 II : 上フランク力は一部ソ性域にある, 下フランク力は弹性域にある。
- 状態 III : 上下フランク力はソ性域にある。
- 状態 IV : 上フランク力は完全ソ性域にあり, 下フランク力は弹性域にある。
- 状態 V : 上フランク力は完全ソ性域にあり, 下フランク力は一部ソ性域にある。
- 状態 VI : 上下フランク力は完全ソ性域にある。
- それらの状態は  $RM = M/M_p$ ,  $RN = N/N_p$  にて次式で表される。
- |            |                         |                         |           |                         |                        |
|------------|-------------------------|-------------------------|-----------|-------------------------|------------------------|
| 状態 I - 1   | $0 \leq RM + RN \leq e$ | $0 \leq RM - RN \leq e$ | $I - 2$   | $0 \leq RM + RN \leq e$ | $0 > RM - RN \geq -e$  |
| 状態 II - 1  | $e \leq RM + RN \leq 1$ | $0 \leq RM - RN \leq e$ | $II - 2$  | $e < RM + RN \leq 1$    | $0 > RM - RN \geq -e$  |
| 状態 III - 1 | $e < RM + RN \leq 1$    | $e < RM - RN \leq 1$    | $III - 2$ | $e < RM + RN \leq 1$    | $-e > RM - RN \geq -1$ |
| 状態 IV - 1  | $1 < RM + RN$           | $0 \leq RM - RN \leq e$ | $IV - 2$  | $1 < RM + RN$           | $0 > RM - RN \geq -e$  |
| 状態 V - 1   | $1 < RM + RN$           | $e \leq RM - RN \leq 1$ | $V - 2$   | $1 < RM + RN$           | $-e > RM - RN \geq -1$ |
| 状態 VI - 1  | $1 < RM + RN$           | $1 \leq RM - RN$        | $VI - 2$  | $1 < RM + RN$           | $-1 \geq RM - RN$      |

断面の回転の変化率中立軸の位置との場合を記す,  $R\phi = (h_p/E_y) \approx 1/2$

$$\text{状態 I - 1} \quad R\phi = 2RM, \quad \zeta = \frac{1}{2} \left( \frac{\theta}{\theta_g} \right) AN$$

$$\text{状態 II - 1} \quad R\phi = (2-e) + (RM-RN) - 2\sqrt{1-e}\sqrt{1-(RM+RN)}, \quad \zeta = \frac{1}{2} - \frac{1}{R\phi} \cdot (RM-RN)$$

$$\text{状態 III - 1} \quad R\phi = 2(2-e) - 2\sqrt{1-e}\sqrt{1-(RM+RN)} - \sqrt{1-(RM-RN)}$$

$$\zeta = \frac{(2-e) - 2\sqrt{1-e}\sqrt{1-(RM+RN)}}{R\phi} - \frac{1}{2}$$

$$\text{状態 IV - 1} \quad R\phi = (2-e) + \frac{1}{\zeta_{st}} (RM+RN-1) + (RM-RN)$$

$$\zeta = \frac{(2-e) + \frac{1}{\zeta_{st}} (RM+RN-1)}{R\phi} - \frac{1}{2}$$

$$\text{状態 V - 1} \quad R\phi = \frac{1}{\zeta_{st}} (RM+RN-1) + 2(2-e) - 2\sqrt{1-e}\sqrt{1-(RM-RN)}$$

$$\zeta = \frac{(2-e) + \frac{1}{\zeta_{st}} (RM+RN-1)}{R\phi} - \frac{1}{2}$$

$$\text{状態 VI - 1} \quad R\phi = 2RM/\zeta_{st} + 2(2-e) - 2/\zeta_{st}$$

$$\zeta = \frac{(2-e) + (RM+RN-1)/\zeta_{st}}{R\phi} - \frac{1}{2}$$

2. 真正たる  $\zeta = 2$

$$Tat = E_{st}t/E, \quad M_{p0} = A_f T_{gj} h$$

$$N_p = 2A_f T_{gj}, \quad T_{gj} = \frac{2T_{gj}L}{Eh}$$

$$e = 1 - T_{gj}/T_{gj} \quad \text{である。}$$

了3と

$$\mu = 2RN/R\phi \quad \{ (10) \}$$

$$D = RN/\zeta \cdot R\phi$$

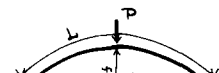
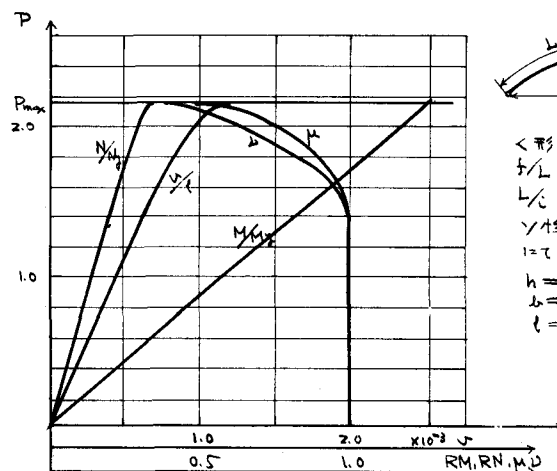
∴  $\mu$  が得られ、これを

$\mu$  を使用して式(1)~式

の計算を経て返してある。

図-5は中央荷重不載と

ときの計算例を示す。



U形断面(半円)

$$e/L = 0.125$$

$$e/L = 0.25$$

Y性ヒンジ付中央ノズ

$L = 2$  最大荷重

$$h = 2402\text{mm}$$

$$b = 1000\text{mm}$$

$$l = 100\text{m}$$